

МАТЕМАТИЧНЕ МОДЕЛЮВАННЯ ВТРАТ ПРИ ПОЗДОВЖНЬОМУ РІЗАННІ МАТЕРІАЛУ РИФЛЕНИМ НОЖЕМ З ОДНОСТОРОННЬОЮ ФОРМОЮ ПОПЕРЕЧНОГО ПЕРЕРІЗУ

Стаття присвячена математичному моделюванню втрат при поздовжньому різанні матеріалу рифленим ножем з односторонньою формою поперечного перерізу, а саме розробці методу визначення впливу величини зазору між твірними транспортуючими валиків і величини відстані від вертикальної осі обертання транспортуючих валиків до кромки леза ножа на сумарну величину втрат при поздовжньому різанні матеріалу та величину втрат на тертя матеріалу, шляхом використання рівнянь регресії. Машини для поздовжнього різання взуттєвих матеріалів застосовуються для вирівнювання та розділення взуттєвих матеріалів (шкіри, гуми, повсті) по товщині для отримання однакової товщини деталі по площині та/або різних по товщині деталей, придатних для застосування у взуттєвому виробництві. Технологічний процес поздовжнього різання взуттєвих матеріалів – це взаємодія механізму транспортуючих валиків та кромки леза ножа з деталлю в зоні деформації, який впливає на енергетичні витрати та якість обробки деталі та залежить від форми поперечного перерізу леза ножа (одно- та двостороння, криволінійна) і кромки леза (лінійна або рифлена (криволінійна) кромка заточки). Для визначення сумарної величини втрат при поздовжньому різанні матеріалу та величини втрат на тертя матеріалу об грани нерухомого рифленого ножа з односторонньою формою поперечного перерізу, а також погонного зусилля різання (мікропористої гуми) був проведений двох факторний експеримент для моделі дослідження. Метою даного дослідження є верифікація аналітичної моделі використання рифленого ножа з односторонньою формою поперечного перерізу (аналіз сили опору просування розділених частин матеріалу деталі в залежності від глибини рифлів та кутів їх заточування). Порівняння сумарних величин втрат при поздовжньому різанні матеріалу ножа з односторонньою заточкою та рифленого ножа з односторонньою формою поперечного перерізу, дозволяє говорити про доцільність використання рифленого ножа з односторонньою формою поперечного перерізу.

Ключові слова: погонне зусилля, сумарна величина втрат, втрати на тертя матеріалу, валики, леза ножа.

D.A. MAKATORA

Kyiv National University of Technologies and Design

MATHEMATICAL MODELLING OF LOSSES AT SLITTING MATERIAL WITH A CORRUGATED KNIFE WITH ONE-SIDED CROSS SECTION

The article is devoted to mathematical modelling of losses at slitting material with a corrugated knife with one-sided cross section, namely to developing a method for determining the effect of the gap between the generators of transport rollers and the distance from the vertical axis of rotation and the amount of friction losses of the material, by using regression equations. Machines for slitting shoe materials are used for alignment and separation of shoe materials (leather, rubber, felt) in thickness to obtain the same thickness of the part in the plane and / or different thickness parts suitable for use in footwear production. The technological process of slitting shoe materials is the interaction of the mechanism of transporting rollers and the edge of the knife blade with the part in the deformation zone, which affects energy costs and quality of work piece and depends on the cross section of the knife blade (single and double, curved) and the knife edge (linear or corrugated (curved) edge of sharpening). To determine the total amount of losses at slitting material and the amount of friction losses on the face of a fixed corrugated knife with a one-sided cross section, as well as the line force (microporous rubber), a two-factor experiment has been performed for the study model. The purpose of this study is to verify the analytical model of the use of a corrugated knife with a one-sided cross section (analysis of the force of resistance to the movement of separated parts of the material depending on the depth of the grooves and sharpening angles). Comparison of the total values of losses at slitting material of a knife with one-sided sharpening and a corrugated knife with one-sided cross section, allows us to talk about the feasibility of using a corrugated knife with one-sided cross section.

Key words: line force, total amount of losses, friction losses of material, rollers, knife blades.

Постановка проблеми

Машини для поздовжнього різання деталей низу взуття застосовуються для вирівнювання та розділення взуттєвих матеріалів (шкіри, гуми, повсті) по товщині для отримання однакової товщини деталі по площині та/або різних по товщині деталей, придатних для застосування у взуттєвому виробництві. Технологічний процес поздовжнього різання взуттєвих матеріалів – це взаємодія механізму транспортуючих валиків та леза ножа з деталлю в зоні деформації, яка представляє значний інтерес, який впливає на енергетичні витрати та якість обробки деталі та залежить від форми поперечного перерізу леза ножа (одно- та двостороння, криволінійна) і кромки леза (лінійна або рифлена (криволінійна) кромка заточки) [1–9].

Аналіз останніх досліджень і публікацій

В роботі [1] було проведено аналіз використання ножів, що мають різну форму поперечного перерізу, а саме одно- та двосторонню заточку, який довів, що використання ножа з односторонньою формою поперечного перерізу дозволяє знизити силу опору просуванню розділених деталей, в порівнянні з двостороннім. Авторами роботи [2] був проведений аналіз використання рифленого ножа з односторонньою формою поперечного перерізу, результати дослідження дозволяють говорити про зменшення сили опору

просування розділених частин матеріалу деталі в залежності від глибини рифлів та кутів їх заточування. В роботах [3–9] було проаналізовано силу опору просування розділених деталей, а саме: при використанні леза ножа з дугоподібною [9], одно- [4, 7, 8] та двосторонню [3, 5, 6] формами поперечною перерізу, в роботах [3, 8, 9] для мікропористої гуми, роботах [4–5] відповідно для монолітної гуми та [6–7] повсті. Остається актуальне питання визначення погонного зусилля матеріалів (мікропористої гуми) та сили опору просуванню розділених деталей при використанні рифленого ножа з односторонньою формою поперечного перерізу.

Метою даного дослідження є верифікація математичної моделі авторів роботи [2], а саме визначення силу опору просування розділених деталей, та розробка ефективного методу визначення впливу величини зазору між твірними транспортуючими валиків і величини відстані від вертикальної осі транспортуючих валиків до кромки леза рифленого ножа з односторонньою формою поперечного перерізу.

Виклад основного матеріалу дослідження

Експериментальні дослідження як завершальна стадія проектування ріжучого інструменту в машинах для поздовжнього різання проводяться для визначення погонного зусилля різання матеріалів та порівняння витрат, що витрачається на процес повздовжнього різання при використанні ножів різної геометричної форми, а саме рифленого ножа з односторонньою формою поперечного перерізу.

Для визначення погонного зусилля різання був проведений двох факторний експеримент для моделі дослідження:

$$y = F(x_1, x_2)$$

де y – критерій оптимізації, що визначає q_p ; x_1 і x_2 – керовані параметри (фактори), що характеризують відповідно величину зазору між валиками h і величину відстані від вертикальної осі обертання валиків до кромки леза ножа a .

При визначені q_p , як зазначалося, необхідно провести двократну обробку деталі, при котрій в ході її розрізання визначається сумарна величина витрат на обробку P , а потім після розрізання матеріал складають разом і пропускають площину з'єднання через ніж, та визначається величина витрат на тертя F [3–13]. Таким чином, лише різниця цих значень, віднесена до величини ширини деталі, дає справжню величину погонного зусилля різання мікропористої гуми [3–13]:

$$q_p = \frac{P - F}{B}. \quad (1)$$

Планування експерименту проводилося з використаних ротатабельного планом Бокса для двофакторного експерименту ($k_{1,2} = 2$), який рекомендуються при $k_{1,2} \leq 5$ [13].

Загальна кількість дослідів визначається за формулою [13]:

$$N_{1,2} = 2^2 + 2 \cdot 2 + 5 = 13.$$

Кодування, іменування значення факторів та інтервали їх варіювання наведені в табл. 1, значення яких визначалися за допомогою співвідношень:

$$x_1 = \frac{x_i - 4,35}{1}; \quad x_2 = \frac{x_j - 5}{0,5}. \quad (2)$$

Таблиця 1

Таблиця рівнів та інтервалів варіювання діючих факторів, які підлягають дослідженню

| Фактори | Рівні варіювання | | | | | Інтервал варіювання фактору |
|----------------------------------------------------------------------------------------------------------|------------------|------|------|------|--------|-----------------------------|
| | -1,414 | -1 | 0 | +1 | +1,414 | |
| h – відстань між транспортуючими валиками, мм (x_1) | 2,95 | 3,35 | 4,35 | 5,35 | 5,75 | 1 |
| a – відстань між вертикальною віссю обертання транспортуючих валиків і кромкою леза ножа, мм (x_2) | 4,3 | 4,5 | 5 | 5,5 | 5,7 | 0,5 |

Проведемо обробку даних експерименту з визначення сумарної величини втрат при поздовжньому різані матеріалу.

Матриця планування двофакторного експерименту представлена в табл. 2.

При визначені числа вимірювань для кожного досліду проводилося п'ять повторних вимірювань на нульовому рівні (досліди 9–13) і визначалося наближене значення середньоквадратичної похибки рівняння [13]: $S_p = 1,118$.

Розрахункове значення критерію Стьюдента в цьому випадку: $t_{расч}(P) = 4,0001$.

**Матриця планування двофакторного експерименту визначення
сумарної величини втрат при поздовжньому різані матеріалу**

| Номер досліду | Матриця планування | | Робоча матриця | | | Дані до розрахунку | |
|---------------|--------------------|--------|----------------|-----|------------------------|-----------------------------------------------|-----------------------|
| № | x_1 | x_2 | h | a | y_u | y_u | $(y_u - \bar{y}_u)^2$ |
| 1 | 1 | 1 | 5,35 | 5,5 | 265 | 264,22 | 0,6047 |
| 2 | -1 | 1 | 3,35 | 5,5 | 334 | 333,34 | 0,4378 |
| 3 | 1 | -1 | 5,35 | 4,5 | 352 | 352,24 | 0,0559 |
| 4 | -1 | -1 | 3,35 | 4,5 | 390 | 390,35 | 0,1241 |
| 5 | -1,414 | 0 | 2,95 | 5 | 372 | 370,95 | 1,1107 |
| 6 | 1,414 | 0 | 5,75 | 5 | 296 | 295,13 | 0,7515 |
| 7 | 0 | -1,414 | 4,35 | 4,3 | 390 | 388,30 | 2,8745 |
| 8 | 0 | 1,414 | 4,35 | 5,7 | 286 | 285,77 | 0,0530 |
| 9 | 0 | 0 | 4,35 | 5 | 340 | 338,48 | 2,3068 |
| 10 | 0 | 0 | 4,35 | 5 | 338 | 338,48 | 0,2315 |
| 11 | 0 | 0 | 4,35 | 5 | 340 | 338,48 | 2,3068 |
| 12 | 0 | 0 | 4,35 | 5 | 338 | 338,48 | 0,2315 |
| 13 | 0 | 0 | 4,35 | 5 | 336 | 338,48 | 6,1562 |
| | | | | | $\sum_{1}^{13} = 4377$ | $\sum_{1}^{13} (y_u - \bar{y}_u)^2 = 15,4452$ | |

Табличне значення критерію Стьюдента для $\alpha_B = 0,95$ і $n_1 = 5$ [13]. Тобто виконується умова: $t_{расч}(P) \geq t_{рабл}$.

Отже, число вимірювань $n_1 = 5$ для кожного досліду є достатнім. Після проведення експерименту і розшифровки записів за допомогою тарувального графіка визначалося середнє значення п'яти повторних вимірювань критерію оптимізації по кожному досліду і дані заносилися в робочу матрицю планування (табл. 2).

У цьому випадку необхідно знайти значення коефіцієнтів регресії рівняння [13]:

$$y_u = b_0 + b_1 x_1 + b_2 x_2 + b_{12} x_1 x_2 + b_{11} x_1^2 + b_{22} x_2^2. \quad (3)$$

Для визначення цих коефіцієнтів використовувалися рівняння викладені в роботі [13]:

$$\alpha_1 = 0,2; \alpha_2 = 0,1; \alpha_3 = 0,125; \alpha_4 = 0,25; \alpha_5 = 0,125; \alpha_6 = 0,187; \alpha_7 = 0,1.$$

$$\text{Звідси: } b_0 = 338,48; b_1 = -26,81; b_2 = -36,26; b_{12} = -7,75; b_{11} = -2,72; b_{22} = -0,72.$$

Таким чином, рівняння (3) набуває вигляду:

$$y_u = 338,48 - 26,81x_1 - 36,26x_2 - 7,75x_1 x_2 - 2,72x_1^2 - 0,72x_2^2 \quad (4)$$

Гіпотеза про адекватність рівняння (4) перевіряється в такій послідовності.

Так як досліди дублювалися тільки в нульовій точці, то дисперсія адекватності згідно рівнянню [13]:

$$S_{ad}^2 = \frac{17,24 - 11,2329}{3} = 2,0.$$

Дисперсія відтворюваності для цього випадку визначається за формулою [13]:

$$S_{\{y\}}^2 = \frac{11,2329}{4} = 2,81.$$

Знаючи число ступенів свободи для більшої ($f_{ad} = 3$) і меншої ($f_e = 4$) дисперсії [13], табличне значення критерію Фішера для 95 % довірчої ймовірності:

$$F_{рабл} = 6,59.$$

Розрахункове значення критерію Фішера згідно формули [13]:

$$F_{расч}(P) = \frac{2,0}{2,81} = 0,71.$$

Порівняння табличного і розрахункового значень критерію Фішера показало, що рівняння (4) можна вважати адекватним з довірчою ймовірністю $\alpha_B = 0,95$, так як дотримується умова: $F_{рабл} \geq F_{расч}(P)$.

Значимість коефіцієнтів регресії в рівнянні (4) перевіряється з урахуванням рівнянь роботи [13] для випадку, коли $k_1 = 2$. У цьому випадку: $a_8 = 0,2; a_9 = 0,125; a_{10} = 0,1438; a_{11} = 0,25$.

Отже:

$$S_{\{b_0\}}^2 = 0,2 \cdot 0,71 = 0,142 \text{ і } S_{\{b_0\}} = 0,38 ;$$

$$S_{\{b_{ii}\}}^2 = 0,1438 \cdot 0,71 = 0,102 \text{ і } S_{\{b_{ii}\}} = 0,32 ;$$

$$S_{\{b_i\}}^2 = 0,125 \cdot 0,71 = 0,089 \text{ і } S_{\{b_i\}} = 0,3 ;$$

$$S_{\{b_{ij}\}}^2 = 0,25 \cdot 0,71 = 0,1775 \text{ і } S_{\{b_{ij}\}} = 0,42 .$$

Звідси з співвідношень роботи [13]:

$$\Delta b_0 = \pm 2 \cdot 0,38 = \pm 0,76 ; \Delta b_i = \pm 2 \cdot 0,3 = \pm 0,6 ; \Delta b_{ii} = \pm 2 \cdot 0,32 = \pm 0,64 ; \Delta b_{ij} = \pm 2 \cdot 0,42 = \pm 0,84 .$$

Порівняння абсолютних величин коефіцієнтів регресії рівняння (4) і відповідних похибок в їх оцінці показує, що з довірчою ймовірністю 0,95 можна вважати значимими всі коефіцієнти, крім b_{22} , тоді отримаємо:

$$y_u = 338,48 - 26,81x_1 - 36,26x_2 - 7,75x_1x_2 - 2,72x_1^2 \quad (5)$$

Рівняння (5) є рівнянням регресії, що описує сумарну величину втрат при виконанні поздовжнього різання матеріалу нерухомим ножем в залежності від відстані між транспортуючими валиками (x_1), і відстані між вертикальною віссю обертання транспортуючих валиків і кромкою леза ножа (x_2).

Враховуючи вирази (2), перейдемо до іменованих величинах:

$$y_u = 338,48 - 26,81(h - 4,35) - 36,26\left(\frac{a-5}{0,5}\right) - 7,75(h - 4,35)\left(\frac{a-5}{0,5}\right) - 2,72(h - 4,35)^2 .$$

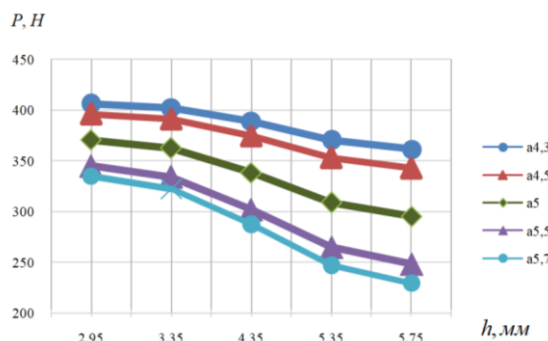


Рис. 1. Графік залежності сумарних витрат P при виконанні різання мікропористої гуми рифленим ножем з односторонньою формою поперечного перерізу, від величини відстані h , між транспортуючими валиками: при $a = \text{const}$, в діапазоні $a_{\min} = 4,3 - a_{\max} = 5,7$.

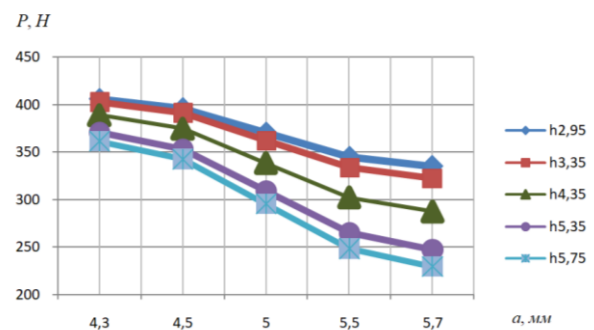


Рис. 2. Графік залежності сумарних витрат P при виконанні різання мікропористої гуми рифленим ножем з односторонньою формою поперечного перерізу, від величини відстані a від вертикальної вісі транспортуючих валиків до кромки леза ножа: при $h = \text{const}$, в діапазоні $h_{\min} = 2,95 - h_{\max} = 5,75$.

Таблиця 3
Матриця планування двофакторного експерименту з визначення величини втрат на тертя матеріалу об грані нерухомого ножа

| Номер досліду | Матриця планування | | Робоча матриця | | | Дані до розрахунку | |
|---------------|--------------------|--------|----------------|-----|------------------------|-----------------------------------------------|-----------------------|
| | x_1 | x_2 | H | a | y_u | \bar{y}_u | $(y_u - \bar{y}_u)^2$ |
| 1 | 1 | 1 | 5,35 | 5,5 | 212 | 210,58 | 2,0069 |
| 2 | -1 | 1 | 3,35 | 5,5 | 244 | 243,26 | 0,5501 |
| 3 | 1 | -1 | 5,35 | 4,5 | 246 | 246,38 | 0,1439 |
| 4 | -1 | -1 | 3,35 | 4,5 | 282 | 283,05 | 1,1116 |
| 5 | -1,414 | 0 | 2,95 | 5 | 270 | 268,83 | 1,3580 |
| 6 | 1,414 | 0 | 5,75 | 5 | 220 | 219,80 | 0,0383 |
| 7 | 0 | -1,414 | 4,35 | 4,3 | 276 | 274,04 | 3,8439 |
| 8 | 0 | 1,414 | 4,35 | 5,7 | 220 | 220,60 | 0,3551 |
| 9 | 0 | 0 | 4,35 | 5 | 244 | 244,86 | 0,7388 |
| 10 | 0 | 0 | 4,35 | 5 | 244 | 244,86 | 0,7388 |
| 11 | 0 | 0 | 4,35 | 5 | 246 | 244,86 | 1,3006 |
| 12 | 0 | 0 | 4,35 | 5 | 244 | 244,86 | 0,7388 |
| 13 | 0 | 0 | 4,35 | 5 | 246 | 244,86 | 1,3006 |
| | | | | | $\sum_{1}^{13} = 3194$ | $\sum_{1}^{13} (y_u - \bar{y}_u)^2 = 14,2255$ | |

Після спрощення рівняння прийме вид:

$$y_u = 429,11 + 74,35h - 2,72h^2 - 5,1a - 15,5ah \quad (6)$$

Отриманий вираз (6) – експериментальна математична модель залежності величини сумарних втрат при виконанні поздовжнього різання від величини зазору між валиками і величини відстані від вертикальної осі обертання валиків до кромки леза ножа.

При визначенні числа вимірів для кожного досліду проводилося п'ять повторних вимірювань на нульовому рівні (досліди 9-13) і визначалося наближене значення середньоквадратичної похибки рівняння роботи [13]: $S_p = 1,118$.

Розрахункове значення критерію Стьюдента в цьому випадку: $t_{расч}(P) = 4,0001$.

Табличне значення критерію Стьюдента для $\alpha_B = 0,95$ і $n_1 = 5$ [13]. Звідси виконується умова: $t_{расч}(P) \geq t_{табл}$.

Отже, число вимірювань $n_1 = 5$ для кожного досліду є достатнім. Після проведення експерименту і розшифровки записів за допомогою тарувального графіка визначали середнє значення п'яти повторних вимірювань критерію оптимізації по кожному досліду і дані заносилися в робочу матрицю планування (табл. 3.).

У цьому випадку необхідно знайти значення коефіцієнтів регресії рівняння (3.32)–(3.35) і дані табл. 3.32 [14] для двофакторного експерименту: $b_0 = 244,86$; $b_1 = -17,34$; $b_2 = -18,9$; $b_{12} = 1$; $b_{11} = -0,27$; $b_{22} = 1,23$.

Таким чином, рівняння (3) набуває вигляду:

$$y_u = 244,86 - 17,34x_1 - 18,9x_2 + x_1x_2 - 0,27x_1^2 + 1,23x_2^2 \quad (7)$$

Гіпотеза про адекватність рівняння (7) перевіряється у вищі викладеної методиці.

Дисперсія адекватності:

$$S_{ad}^2 = \frac{14,2255 - 4,8177}{3} = 3,136 .$$

Дисперсія відтворюваності для цього випадку:

$$S_{\{y\}}^2 = \frac{4,8177}{4} = 1,204 .$$

Розрахункове значення критерію Фішера:

$$F_{расч}(F) = \frac{3,136}{1,204} = 2,6 .$$

Порівняння табличного і розрахункового значень критерію Фішера показало, що рівняння (7) можна вважати адекватним з довірчою ймовірністю $\alpha_B = 0,95$, так як дотримується умова: $F_{табл} \geq F_{расч}(P)$.

Значимість коефіцієнтів регресії в рівнянні (7) перевіряли аналогічно, як у вищі викладеній методиці.

Отже:

$$S_{\{b_0\}}^2 = 0,2 \cdot 1,204 = 0,2408 \text{ і } S_{\{b_0\}} = 0,49 ; \quad S_{\{b_i\}}^2 = 0,125 \cdot 1,204 = 0,1505 \text{ і } S_{\{b_i\}} = 0,39 ;$$

$$S_{\{b_{ii}\}}^2 = 0,1438 \cdot 1,204 = 0,1731 \text{ і } S_{\{b_{ii}\}} = 0,42 ; \quad S_{\{b_{ij}\}}^2 = 0,25 \cdot 1,204 = 0,3 \text{ і } S_{\{b_{ij}\}} = 0,55 .$$

Звідси з співвідношень (4.26) – (4.29) [14]:

$$\Delta b_0 = \pm 2 \cdot 0,49 = \pm 0,98 ; \quad \Delta b_i = \pm 2 \cdot 0,39 = \pm 0,78 ; \quad \Delta b_{ii} = \pm 2 \cdot 0,42 = \pm 0,84 ; \quad \Delta b_{ij} = \pm 2 \cdot 0,55 = \pm 1,1 .$$

Порівняння абсолютних величин коефіцієнтів регресії рівняння (7) і відповідних похибок в їх оцінці показує, що з довірчою ймовірністю 0,95 можна вважати значимими всі коефіцієнти, крім b_{11} , тоді отримаємо:

$$y_u = 244,86 - 17,34x_1 - 18,9x_2 + x_1x_2 + 1,23x_2^2 \quad (8)$$

Рівняння (8) є рівнянням регресії, що описує сумарну величину втрат при виконанні поздовжнього різання матеріалу нерухомим ножем в залежності від відстані між транспортуючими валиками (x_1), і відстані між вертикальною віссю обертання транспортуючих валиків і кромкою леза ножа (x_2).

Враховуючи вирази (2), перейдемо до іменованих величин:

$$y_u = 244,86 - 17,34(h - 4,35) - 18,9 \left(\frac{a-5}{0,5} \right) + (h - 4,35) \left(\frac{a-5}{0,5} \right) + 1,23 \left(\frac{a-5}{0,5} \right)^2 .$$

Після спрощення рівняння прийме вид:

$$y_u = 652,79 - 27,34h - 86,5a + 2ah + 4a^2 \quad (9)$$

Отриманий вираз (9) – експериментальна математична модель залежності величини втрат на тертя матеріалу об грані нерухомого ножа при виконанні поздовжнього різання нерухомим ножем, від величини зазору між валиками і величини відстані від вертикальної осі обертання валиків до кромки леза ножа.

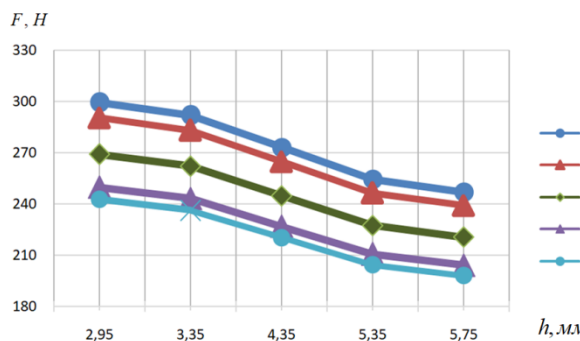


Рис. 3. Графік залежності сумарних витрат тертя F при виконанні різання мікропористої гуми нерухомим рифленим ножем з односторонньою формою поперечного перерізу, від величини відстані h , між транспортуючими валиками: при $a = \text{const}$, в діапазоні $a_{\min} = 4,3 - a_{\max} = 5,7$

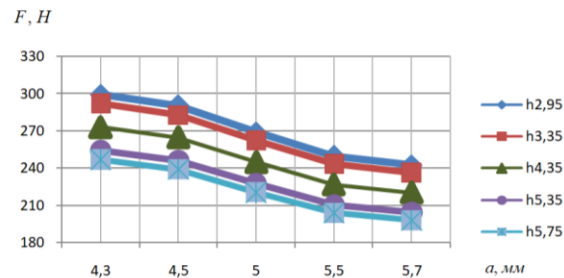


Рис. 4. Графік залежності сумарних витрат тертя F при виконанні різання монолітної гуми рифленим ножем з односторонньою формою поперечного перерізу, від величини відстані a від вертикальної вісі транспортуючих валиків до кромки леза ножа: при $h = \text{const}$, в діапазоні $h_{\min} = 2,95 - h_{\max} = 5,75$

Висновки

Отримані експериментальні моделі, а саме визначення сумарної величини втрат (6) та величини втрат на тертя матеріалу (9) дозволяють визначати погоне зусилля різання мікропористої гуми (1). Підставляючи значення в рівняння (1), отримаємо середнє значення погонного зусилля монолітної гуми:

$$q_p = 2,64 \frac{\text{Н}}{\text{мм}}$$

Відхилення від отриманих раніше значень робот [3, 8–10] відповідно складають від 3,1 до 6,8 %.

Порівнюючи сумарні величини втрат при поздовжньому різані матеріалу при використанні ножа з односторонньою формою поперечного перерізу (отримані автором в роботі [1]) та при використанні рифленого ножа з односторонньою формою поперечного перерізу, отримаємо:

$$\Delta P = \frac{370,49 - 338,48}{370,49} \cdot 100\% = 8,64\%.$$

Визначене відхилення свідчить, що виконані операції поздовжнього різання взуттєвих матеріалів доцільно використовувати лезо рифленого ножа з односторонньою формою поперечного перерізу, що дозволить знизити сумарні величини втрат, в порівнянні з одностороннім формою поперечного перерізу, що в свою чергу знизить енергетичні витрати на процес.

Література

- Макатьєра Д.А. Аналіз раціонального положення ножа та форми його поперечного перерізу в машинах типу “ДН” / Д.А. Макатьєра, В.І. Князєв // Вісник Київського національного університету технологій та дизайну. – 2004. – № 1. – С. 159–163.
- Макатьєра Д.А. Аналіз впливу ножа з рифлями на силу просування матеріалу в процесі повздовжнього різання / Д.А. Макатьєра, В.І. Князєв // Вісник Київського національного університету технологій та дизайну. – 2004. – № 3. – С. 46–51.
- Макатьєра Д.А. Визначення погонного зусилля різання мікропористої гуми ножем з двосторонньою заточкою / Д.А. Макатьєра // Вісник ЧДТУ. – 2013. – № 2 (65). – С. 92–97.
- Макатьєра Д.А. Визначення погонного зусилля різання монолітної гуми ножем з односторонньою заточкою / Д.А. Макатьєра, І.В. Панасюк // Вісник ЧДТУ. – 2014. – № 1 (71). – С. 36–42.
- Макатьєра Д.А. Визначення погонного зусилля різання монолітної гуми ножем з двосторонньою заточкою / Д.А. Макатьєра, І.В. Панасюк // Вісник Хмельницького національного університету. – 2014. – № 1 (209). – С. 31–35.
- Макатьєра Д.А. Визначення погонного зусилля різання повсті ножем з двосторонньою заточкою / Д.А. Макатьєра, І.В. Панасюк // Вісник Київського національного університету технологій та дизайну. – 2014. – № 1 (75). – С. 41–48.
- Макатьєра Д.А. Експериментальне дослідження з визначення погонного зусилля різання повсті, ножем з односторонньою заточкою / Д.А. Макатьєра // Вісник Київського національного університету технологій та дизайну. – 2014. – № 2 (76). – С. 113–123.
- Макатьєра Д.А. Визначення погонного зусилля різання мікропористої гуми ножем з односторонньою заточкою / Д.А. Макатьєра, І.В. Панасюк // Вісник Хмельницького національного

університету. – 2014. – № 2 (211). – С. 19–25.

9. Макатьора Д.А. Експериментальне дослідження зусилля різання ножем з дугоподібною формою поперечного перерізу / Д.А. Макатьора // Вісник Хмельницького національного університету. – 2020. – № 2 (283). – С. 229–234.

10. Черно-Іванов В.С. Розробка механізма продольного резання деталей низа обуви : дис. ... канд. техн. наук : 05.05.10 / В.С. Черно-Іванов. – К., 1998. – 165 с.

11. Черно-Іванов В.С. Розробка механізму повздовжнього різання деталей низу взуття : автореф. дис. ... канд. техн. наук : 05.05.10 / В.С. Черно-Іванов; ДАЛПУ. – К., 1998. – 18 с.

12. Патент № 70012 Україна, МПК B 23 B 1/00, G 01 L 3/00. Спосіб визначення потужності, що витрачається на повздовжнє різання матеріалу / Д. А. Макатьора, В. І. Князєв ; заявник та патентовласник Київський державний університет технологій та дизайну. – № u20031212100 ; заявл. 23.12.2003 ; опубл. 15.09.2004, Бюл. № 9.

13. Тихомиров В. Б. Планирование и анализ эксперимента / В. Б. Тихомиров. – М. : Легкая индустрия, 1974. – 262 с.

14. ГОСТ 7338-90. Пластины резиновые и резинотканевые. Технические условия. Rubberand rubber-fabric sheets. Specifications. Дата введения в действие 01.07.1991. Код ОКС. 83.140.99. Статус: Действует. 18 с.

References

1. Makatora D.A. Analiz ratsionalnoho polozhennia nozha ta formy yoho poperechnoho pererizu v mashynakh typu "DN" / D.A. Makatora, V.I. Kniaziev // Visnyk Kyivskoho natsionalnogo universytetu tekhnolohii ta dyzainu. – 2004. – № 1. – S. 159–163.
2. Makatora D.A. Analiz vplivu nozha z ryflami na sylu prosuvannia materialu v protsesi povzdovzhnogo rizannia / D.A. Makatora, V.I. Kniaziev // Visnyk Kyivskoho natsionalnogo universytetu tekhnolohii ta dyzainu. – 2004. – № 3. – S. 46–51.
3. Makatora D.A. Vyznachennia pohonnoho zusyllia rizannia mikroporystoi humy nozhem z dvostoronnou zatochkoiu / D.A. Makatora // Visnyk ChDTU. – 2013. – № 2 (65). – S. 92–97.
4. Makatora D.A. Vyznachennia pohonnoho zusyllia rizannia monolitnoi humy nozhem z odnostoronnou zatochkoiu / D.A. Makatora, I.V. Panasiuk // Visnyk ChDTU. – 2014. – № 1 (71). – S. 36–42.
5. Makatora D.A. Vyznachennia pohonnoho zusyllia rizannia monolitnoi humy nozhem z dvostoronnou zatochkoiu / D.A. Makatora, I.V. Panasiuk // Visnyk Khmelnytskoho natsionalnogo universytetu. – 2014. – № 1 (209). – S. 31–35.
6. Makatora D.A. Vyznachennia pohonnoho zusyllia rizannia povsti nozhem z dvostoronnou zatochkoiu / D.A. Makatora, I.V. Panasiuk // Visnyk Kyivskoho natsionalnogo universytetu tekhnolohii ta dyzainu. – 2014. – № 1 (75). – S. 41–48.
7. Makatora D.A. Eksperimentalne doslidzhennia z vyznachennia pohonnoho zusyllia rizannia povsti, nozhem z odnostoronnou zatochkoiu / D.A. Makatora // Visnyk Kyivskoho natsionalnogo universytetu tekhnolohii ta dyzainu. – 2014. – № 2 (76). – S. 113–123.
8. Makatora D.A. Vyznachennia pohonnoho zusyllia rizannia mikroporystoi humy nozhem z odnostoronnou zatochkoiu / D.A. Makatora, I.V. Panasiuk // Visnyk Khmelnytskoho natsionalnogo universytetu. – 2014. – № 2 (211). – S. 19–25.
9. Makatora D.A. Eksperimentalne doslidzhennia zusyllia rizannia nozhem z duhopodibnoi formoiu poperechnoho pererizu / D.A. Makatora // Visnyk Khmelnytskoho natsionalnogo universytetu. – 2020. – № 2 (283). – S. 229–234.
10. Cherno-Ivanov V.S. Razrabotka mehanizma prodlonogo rezaniya detaley niza obuvi : dis. ... kand. tehn. nauk : 05.05.10 / V.S. Cherno-Ivanov. – K., 1998. – 165 s.
11. Chorno-Ivanov V.S. Rozrobka mehanizmu povzdovzhnogo rizannia detalei nyzu vzuttiya : avtoref. dys. ... kand. tehn. nauk : 05.05.10 / V.S. Chorno-Ivanov; DALPU. – K., 1998. – 18 s.
12. Patent № 70012 Україна, МПК B 23 B 1/00, G 01 L 3/00. Sposib vyznachennia potuzhnosti, shcho vytrachaietsia na povzdovzhnie rizannia materialu / D. A. Makatora, V. I. Kniaziev ; zaiavnyk ta patentovlasnyk Kyivskyi derzhavnyi universytet tekhnolohii ta dyzainu. – № u20031212100 ; zaialv. 23.12.2003 ; opubl. 15.09.2004, Biul. № 9.
13. Tihomirov V. B. Planirovanie i analiz eksperimenta / V. B. Tihomirov. – M. : Legkaya industriya, 1974. – 262 s.
14. GOST 7338-90. Plastini rezinove i rezinotkanevye. Tehnicheskie usloviya. Rubberand rubber-fabric sheets. Specifications. Data vvedeniya v dejstvie 01.07.1991. Kod OKS. 83.140.99. Status: Dejstvuet. 18 s.

Рецензія/Peer review : 17.10.2020 р.

Надрукована/Printed :06.11.2020 р.